

# СОДЕРЖАНИЕ

<b>Введение</b> .....	4
<b>Глава 1</b>	
<b>История развития эндоскопии</b> .....	6
<b>Глава 2</b>	
<b>Оборудование и инструментарий для эндоскопических вмешательств в челюстно-лицевой области</b> .....	12
<b>2.1.</b> Общие требования к оборудованию и инструментарию для эндоскопических операций ..	12
<b>2.2.</b> Оптические приборы и видеоаппаратура .....	13
<b>2.3.</b> Моторные системы .....	20
<b>2.4.</b> Электрохирургический инструмент и лазеры .....	25
<b>2.5.</b> Ручной инструмент .....	28
<b>Глава 3</b>	
<b>Особенности диагностики и предоперационного обследования</b> .....	35
<b>Глава 4</b>	
<b>Особенности анестезиологического пособия при эндоскопических вмешательствах</b> ..	40
<b>Глава 5</b>	
<b>Методы диагностических и лечебных эндохирургических вмешательств</b> .....	43
<b>5.1.</b> Диагностическая эндоскопия верхнечелюстной пазухи .....	43
<b>5.2.</b> Лечение одонтогенного гайморита .....	50
<b>5.3.</b> Диагностическая эндоскопия внутрикостных полостных новообразований челюстей ..	60
<b>5.4.</b> Эндоскопическое удаление кист челюстей .....	64
<b>5.5.</b> Артроскопия височно-нижнечелюстного сустава .....	70
<b>5.6.</b> Остеосинтез переломов ветви и мыщелкового отростка нижней челюсти ..	75
<b>5.7.</b> Остеосинтез переломов средней зоны лицевого черепа .....	84
<b>Заключение</b> .....	92
<b>Литература</b> .....	93
<b>Жесткие и гибкие эндоскопы, операционные инструменты и принадлежности для челюстно-лицевой хирургии фирмы KARL STORZ, аппаратура и принадлежности для освещения и архивирования данных</b> .....	94

## ГЛАВА 2

# ОБОРУДОВАНИЕ И ИНСТРУМЕНТАРИЙ ДЛЯ ЭНДОСКОПИЧЕСКИХ ВМЕШАТЕЛЬСТВ В ЧЕЛЮСТНО-ЛИЦЕВОЙ ОБЛАСТИ

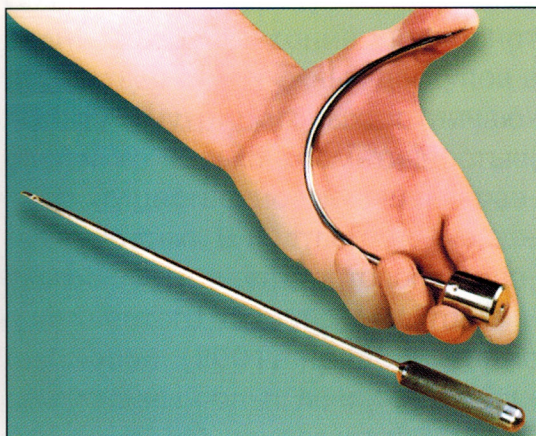
## 2.1. Общие требования к оборудованию и инструментарию для эндоскопических операций

Основные требования, предъявляемые сегодня к эндоскопической технике, можно сформулировать следующим образом:

- миниатюрность и удобство при работе одной рукой;
- широкое поле зрения;
- минимальные оптические искажения (цвета и формы исследуемого объекта).

Инструментальная база эндоскопических операций также должна соответствовать жестким специфическим требованиям:

- небольшие размеры;
- удобство при работе одной рукой;
- точность функции;
- геометрическое соответствие анатомическим условиям.



**Рис. 2.1**  
Сверхэластичный сплав никелида титана.

Перечисленные требования объясняются малыми размерами операционного поля, дефицитом рук хирурга (поскольку одна рука всегда занята эндоскопом), необходимостью строго дозировать воздействие на ткани и особенностю анатомических условий.

Увы, на сегодняшний день при высоком уровне развития оптической составляющей разработке ручного инструмента, моторных систем, электроинструмента и пр. уделяется явно недостаточное внимание, что, несомненно, содержит развитие эндохирургии. Огромным недостатком современного инструмента является его ригидность, она вынуждает иметь целый арсенал манипуляторов с одной и той же функцией, но разной геометрией рабочей части, не все необходимые инструменты достаточно миниатюрны, и в результате хирургам приходится приспособливаться, использовать подручные средства и в ряде случаев даже идти на нарушение методики.

Интересные перспективы открываются с внедрением сверхэластичных сплавов никелида титана (**рис. 2.1**). Этот материал известен еще с 60-х годов, однако лишь в последние годы проявился интерес к нему коммерческих производителей медицинского инструментария. Материал имеет

ряд уникальных качеств [Гюнтер В.Э. и др., 1998] в частности высочайшую эластичность и эффект памяти формы. Изготовленный из него инструментарий может изгибаться, принимая геометрическую форму, оптимальную для данной анатомической области. Кроме того, благодаря эффекту памяти формы инструмент может автономно выполнять какую-либо механическую функцию после введения его в рану или полость организма. Таким образом, инструментарий из этого материала значительно более функционален, чем инструмент из стали или титана,

но промышленное освоение никелида титана еще не затронуло эндоскопическую технологию и представленные ниже инструменты из этого материала, в основном, являются только опытными образцами.

## 2.2. Оптические приборы и видеоаппаратура

Среди оптических систем центральное место принадлежит эндоскопам. Современная эндоскопическая техника делится на два типа — фиброволоконная оптика (**рис. 2.2а**), отличающаяся гибкостью, и ригидная техника на основе линз (**рис. 2.2б**).



**Рис. 2.2.** Виды эндоскопов. **а** — гибкий фиброволоконный; **б** — ригидный линзовый.

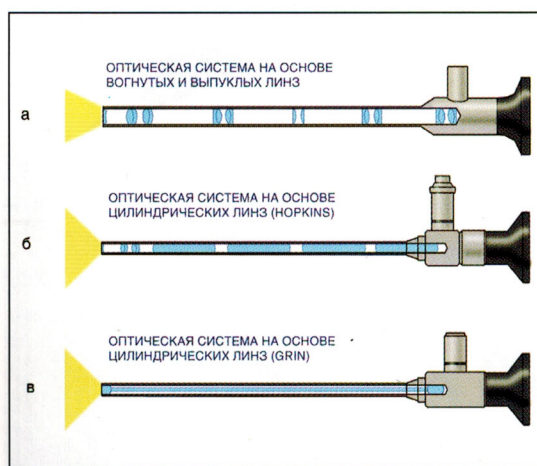
В челюстно-лицевой хирургии, как уже упоминалось, неоднократно осуществлялись попытки использовать фиброволоконную технику, но в силу ее габаритов, диаметра оптики, неудобства в управлении и прочих сложностей она не нашла распространения. Однако весьма вероятно, что в перспективе гибкая фиброволоконная оптика будет адаптирована и использована для эндоскопии носовой полости и придаточных пазух, протоков слюнных желез, полостных новообразований челюстей и т. д. Технические качества ригидной оптики на сегодняшний день более выгодны для условий челюстно-лицевой области, поэтому все диагностические и лечебные эндохирургические методики разработаны на основе именно ригидной оптики.

Ригидные эндоскопы представляют собой тубус с окуляром, внутри которых расположена система

линз. Долгие годы оптические системы строились на основе круглых вогнутых и выпуклых линз, однако они были вытеснены с появлением круглых цилиндрических линз (**рис. 2.3**). Последние отличаются большим углом зрения при малом диаметре линз, высокой яркостью изображения, малыми искажениями по периферии поля зрения.

Предлагаемые в настоящее время коммерческими фирмами ригидные эндоскопы построены на линзовых системах Hopkins (**рис. 2.3б**) или GRIN (*graded refractory index*) (**рис. 2.3в**). Первая разработана H.H. Hopkins (Reading, England), вторая — японской фирмой Nippon Sheet Glass Company (Osaka, Japan).

Основными оптическими характеристиками ригидных эндоскопов являются диаметр, угол раствора и угол зрения. Для вмешательств в



**Рис. 2.3** Конструкции ригидных эндоскопов. **а** — система на основе вогнутых и выпуклых линз; **б** — система на основе цилиндрических линз Хопкинс (H.H. Hopkins, Reading, England); **в** — система на основе круглых и цилиндрических линз GRIN (*graded refractory index*) (Nippon Sheet Glass Company, Osaka, Japan).



**Рис. 2.4.** Набор ригидных эндоскопов для челюстно-лицевой хирургии и хирургической стоматологии. Эндоскопы диаметром 4; 2,7 мм и 1,9 мм с углами зрения 0° и 30°.

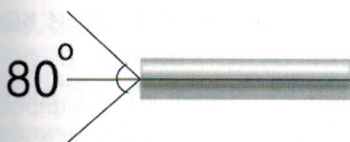
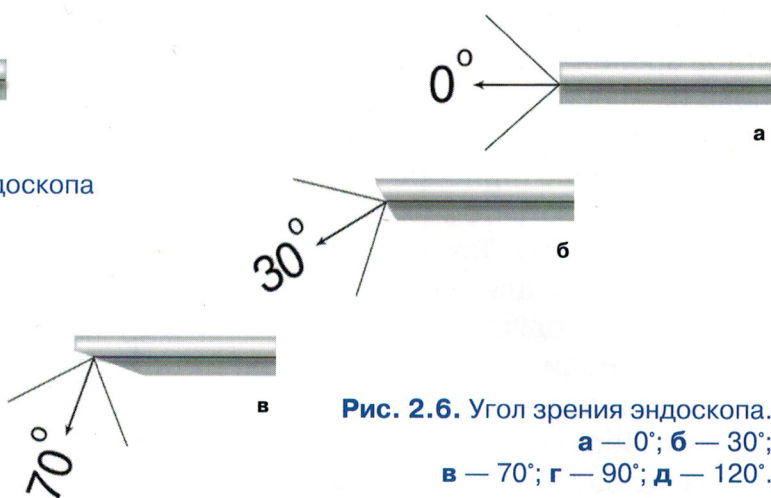


Рис. 2.5. Угол раствора эндоскопа

Рис. 2.6. Угол зрения эндоскопа.  
а — 0°; б — 30°;  
в — 70°; г — 90°; д — 120°.

челюстно-лицевой области используются эндоскопы диаметром от 1,7 до 4 мм (рис. 2.4). Их угол раствора зависит от конструкции линзовой системы и среды, в которой производится обзор. Угол раствора современных эндоскопов составляет около 80° в газовой среде (воздухе) и около 70° в жидкости (воде) (рис. 2.5).

В зависимости от угла зрения различают эндоскопы прямого (0°), вперед под углом (10—30°), бокового (70°) обзора, а также обратного наблюдения (90° и 120°) (рис. 2.6). Под углом зрения понимается отклонение центрального луча в угле раствора оптики, т. е. биссектриса угла раствора оптики. Наиболее проста и удобна в работе оптика прямого обзора, которая показывает картину непосредственно перед эндоскопом, прямо по его оси (рис. 2.7а), поэтому, при работе

такой оптикой всегда легко ориентироваться в пространстве, легко маневрировать, проходить к интересующему месту. Оптика с малыми углами зрения (например, 30°) уже требует некоторого навыка в работе, а именно постоянного мысленного контроля за направлением оси зрения и учета этого угла при пространственной ориентировке. Как оптика прямого обзора, так и вперед под углом наиболее функциональна и безопасна. Это обеспечивается полноценным обзором пространства по оси введения прибора, а следовательно, контролируемым введением прибора и исключением случайного повреждения тканей.

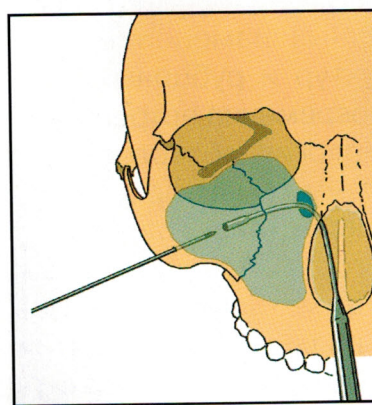
Эндоскопы переднебокового обзора имеют преимущество перед прямолинейными, поскольку при их вращении существенно увеличивается поле зрения (рис. 2.7б).

## 5.7. Остеосинтез переломов средней зоны лицевого черепа

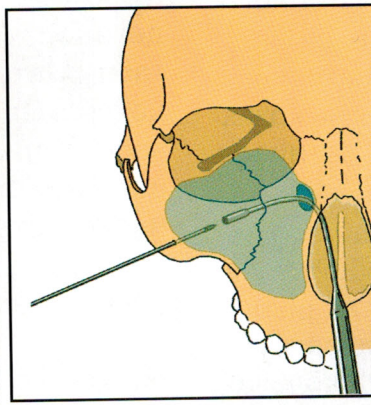
По своей сути эндоскопические методы остеосинтеза переломов средней зоны лица можно разделить на внеочаговый и очаговый. Первый вариант остеосинтеза может быть применен только при переломах скуло-глазнично-верхнечелюстного комплекса, второй — при любой локализации перелома.

Оба варианта остеосинтеза начинаются с санации верхнечелюстной пазухи (одной или обеих), для чего пазуха вскрывается через средний носовой ход, и под видеоэндоскопическим контролем удаляется кровяной сгусток, полипы, обнаженные мелкие костные отломки и т.д. Затем в пазуху вводится гибкий никелид-титановый крючок, которым репонируются костные отломки (**рис. 5.62**). Этап репозиции контролируется видеоэндоскопически со стороны верхнечелюстной пазухи и пальпаторно со стороны кожи. Эластичная ножка крючка позволяет

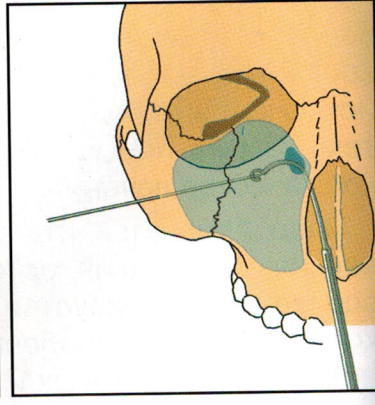
вводить его через носовую полость в верхнечелюстную пазуху, но не всегда позволяет развить усилие, достаточное для репозиции скуловой кости, в таком случае может быть использована спица с навинтованным концом, которая проводится через толщу скуловой кости в верхнечелюстную пазуху. Для надежного закрепления в пазуху вводится специальная втулка и навинтованный конец спицы вкручивается во втулку (**рис. 5.63**). Закрепленная таким образом спица становится рычагом для репозиции кости. После вправления конструкция разбирается, и кость фиксируется двумя трансантрально проведенными спицами. Этап их проведения также контролируется видеоэндоскопически, а направление движения корректируется специальными крючками из никелида титана, которые благодаря гибкой рабочей части легко вводятся в любой отдел верхнечелюстной пазухи и хоан (**рис. 5.64**, **рис. 5.64—5.68**). У пострадавших с



**Рис. 5.62.** Схема трансантральной репозиции отломков скуловой кости и верхней челюсти гибким никелид-титановым крючком.



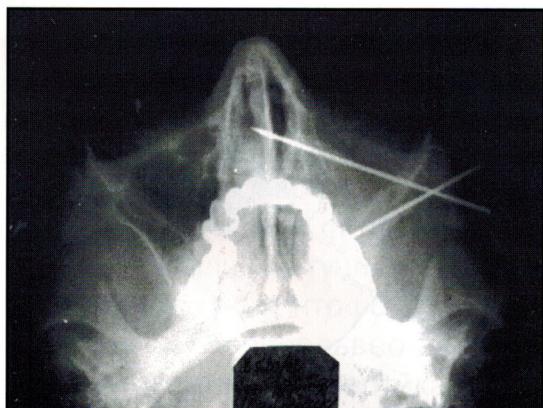
**Рис. 5.63.** Схема трансантральной репозиции скуловой кости винтовой спицей со специальным фиксатором-



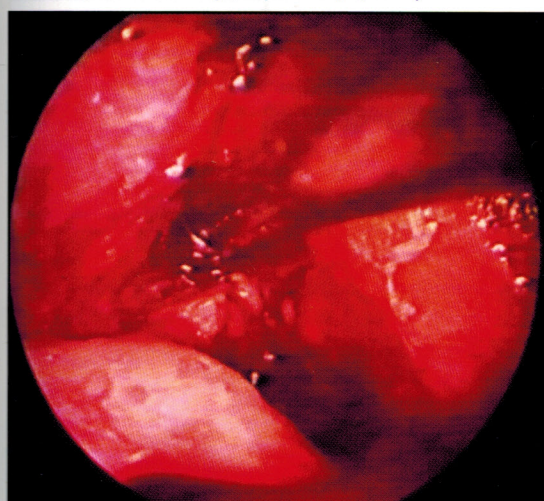
**Рис. 5.64.** Схема контроля продвижения спицы через верхнечелюстную пазуху.



**Рис. 5.65.** Рентгенограмма. Перелом левого скуло-глазнично-верхнечелюстного комплекса (Zm /F1L3,4,5S0).

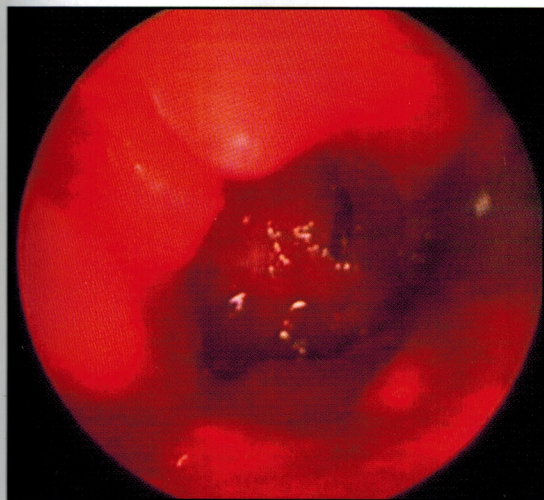


**Рис. 5.68.** Рентгенограмма. Через сутки после операции.

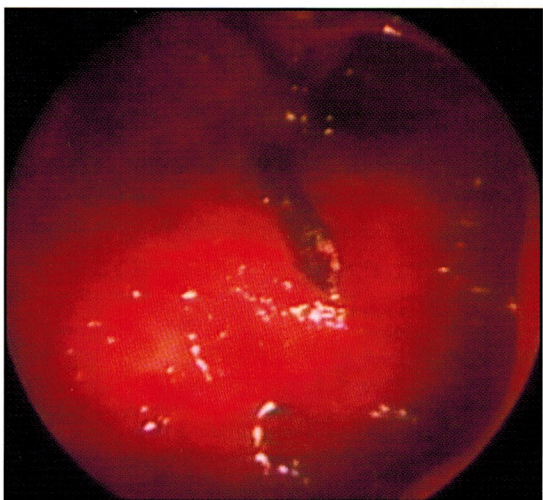


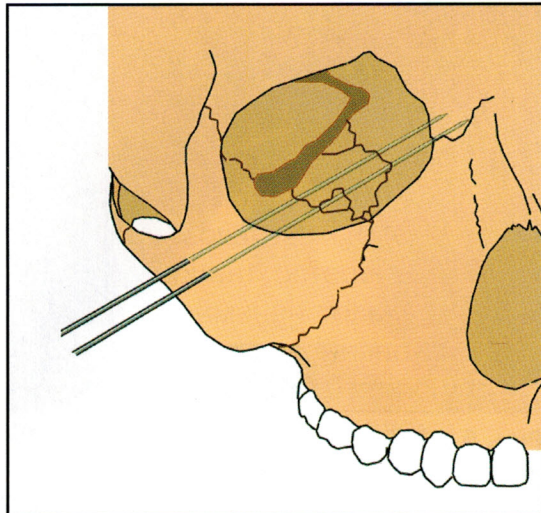
**Рис. 5.66.** Рентгенограмма. Перелом левого скуло-глазнично-верхнечелюстного комплекса (Zm /F1L3,4,5S0).

оскольчатым разрушением дна глазницы при данной методике со стороны верхнечелюстной пазухи ткани глазницы поднимаются в правильное положение вместе с костными отломками,держиваются в таком положении и строго под ними проводятся 2 металлические спицы из никелида титана, образующие удерживающий "мост" (**рис. 5.69—5.71**). При значительных повреждениях пазухи она катетеризируется через средний носовой ход.

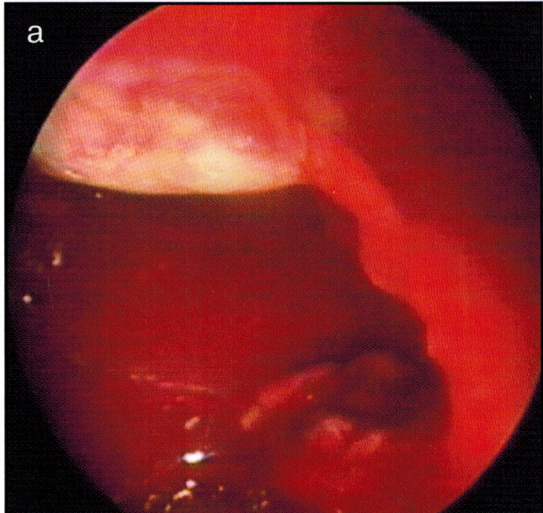


**Рис. 5.67.** Эндофотографии этапа трансантравального проведения спицы.

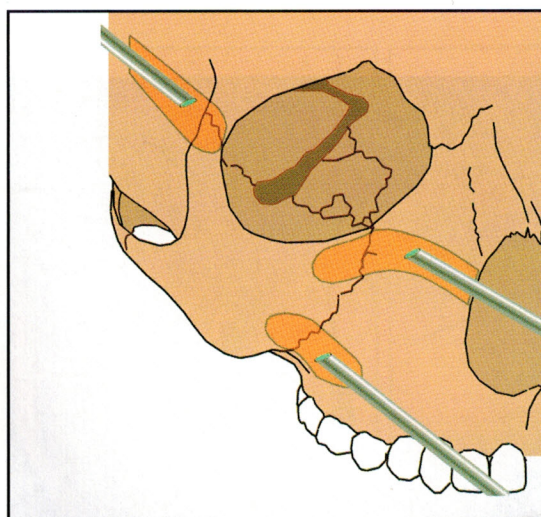




**Рис. 5.69.** Схема контроля продвижения спицы через верхнечелюстную пазуху.



**Рис. 5.70.** Эндофотографии верхней стенки верхнечелюстной пазухи (нижнеглазничной стенки) при ее оскольчатом переломе. **а** — после вскрытия верхнечелюстной пазухи, видна провисающая орбитальная клетчатка; **б** — после репозиции костных отломков, орбитального содержимого и проведения опорных металлических спиц. ►



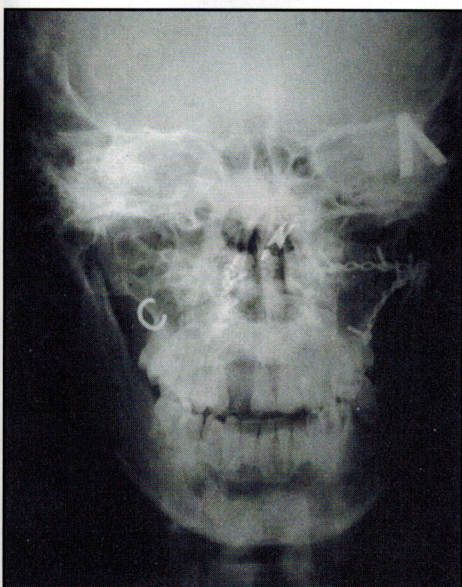
**Рис. 5.72.** Схема формирования субпериостальных мини-туннелей к линиям переломов по контрафорсам.



**Рис. 5.71.** Рентгенограмма. После остеосинтеза перелома скуло-глазнично-верхнечелюстного комплекса с созданием временной спицевой опоры нижнеглазничной стенке.



**Рис. 5.73.** ▲ Рентгенограмма. Супраальвеолярный перелом правой верхней челюсти и суборбитальный перелом левой верхней челюсти (Mx /F1L1S0/F2L2S0).



**Рис. 5.75.** ▼ ▲ Рентгенограммы. Через 1,5 месяца после операции.



При очаговом остеосинтезе переломов костей средней зоны лицевого черепа после санации придаточных пазух носа выполняются миниатюрные разрезы длиной до 1 см, из которых формируются субperiостальные туннели к линиям перелома по контрфорсам. Для доступа к скулоальвеолярному гребню проводится вертикальный разрез на слизистой оболочке преддверия полости рта над проекцией гребня, для доступа к скулобоному шву — разрез кожи над ним, для доступа к нижнеглазничному краю — разрез слизистой оболочки носа над краем грушевидного отверстия на уровне нижнего края глазницы (рис. 5.72). Для удобства работы в субperiостальных туннелях на эндоскопы надеваются специальные тубусы с защитными козырьками. Костные отломки репонируются из раневых каналов с помощью острых крючков или со стороны верхнечелюстной пазухи крючком на гибкой ножке из никелида титана. Синтез отломков осуществляется с помощью тонких никелид-титановых скоб или титановых микропластин. Для установки фиксаторов отверстия в костных отломках наносятся фрезой через проколы кожи, при синтезе микропластинами винты вкручиваются через эти же проколы. Все эти этапы постоянно контролируются эндоскопически, так как при потере визуального контроля в ране может быть нанесена травма глазному яблоку, подглазничному сосудисто-нервному пучку и т.д. (рис. 5.73—5.75).